

УДК 533

ПЛОСКИЙ ВИХРЬ ОВСЯННИКОВА: СВОЙСТВА ОПИСЫВАЕМОГО ДВИЖЕНИЯ И ТОЧНЫЕ РЕШЕНИЯ

С. В. Головин

Институт гидродинамики им. М. А. Лаврентьева СО РАН, 630090 Новосибирск
E-mail: sergey@hydro.nsc.ru

Исследованы физические свойства движения идеальной плазмы, описываемого плоским вихрем Овсянникова. Показано, что траектории частиц и магнитные силовые линии являются плоскими кривыми, предложен алгоритм описания движения в трехмерном пространстве. Получены и изучены некоторые точные решения подмодели.

Ключевые слова: идеальная магнитная гидродинамика, точные решения, траектории, магнитные силовые линии, однородная деформация.

В работе [1] построена частично инвариантная подмодель уравнений идеальной магнитной гидродинамики, задающая трехмерное движение сплошной среды с плоскими волнами, аналогичное сферическому вихрю Овсянникова [2, 3]. Получены и проанализированы уравнения подмодели, дан геометрический алгоритм отыскания входящей в решение неинвариантной функции. Настоящая работа является продолжением исследований, начатых в [1].

1. Уравнения подмодели. Исследуем модель идеальной магнитной гидродинамики [4]

$$\begin{aligned} D\rho + \rho \operatorname{div} \mathbf{u} &= 0, & D\mathbf{u} + \rho^{-1} \nabla p + \rho^{-1} \mathbf{H} \times \operatorname{rot} \mathbf{H} &= 0, \\ Dp + A(p, \rho) \operatorname{div} \mathbf{u} &= 0, & D\mathbf{H} + \mathbf{H} \operatorname{div} \mathbf{u} - (\mathbf{H} \cdot \nabla) \mathbf{u} &= 0, \\ \operatorname{div} \mathbf{H} &= 0, & D &= \partial_t + \mathbf{u} \cdot \nabla, \end{aligned} \quad (1.1)$$

где $\mathbf{u} = (u, v, w)$ — вектор скорости; $\mathbf{H} = (H, K, L)$ — вектор напряженности магнитного поля; p, ρ — давление и плотность соответственно. Справедливо уравнение состояния $p = F(S, \rho)$ с энтропией S . Функция $A(p, \rho)$ определяется уравнением состояния $A = \rho (\partial F / \partial \rho)$. Все функции зависят от времени t и декартовых координат $\mathbf{x} = (x, y, z)$.

Представление частично инвариантного решения [5] системы (1.1) имеет вид [1]

$$\begin{aligned} u &= U(t, x), & H &= H(t, x), \\ v &= V(t, x) \cos \omega(t, x, y, z), & K &= N(t, x) \cos \omega(t, x, y, z), \\ w &= V(t, x) \sin \omega(t, x, y, z), & L &= N(t, x) \sin \omega(t, x, y, z), \\ p &= p(t, x), & \rho &= \rho(t, x), & S &= S(t, x). \end{aligned} \quad (1.2)$$

Работа выполнена при финансовой поддержке Российского фонда фундаментальных исследований (код проекта 05-01-00080) и в рамках Интеграционного проекта СО РАН № 2.15, программ Президента РФ по поддержке ведущих научных школ (грант № НШ-5245.2006.1) и молодых кандидатов наук (грант № МК-1521.2007.1).

Функции, зависящие только от t и x , далее будем называть инвариантными, единственной неинвариантной функцией является функция ω . В работе [1] была введена вспомогательная инвариантная функция h , определяемая равенством

$$\tilde{D}\rho + \rho(U_x + hV) = 0, \quad \tilde{D} = \partial_t + U\partial_x.$$

Различаются два случая: $h = 0$ и $h \neq 0$. В случае $h \neq 0$ для удобства введем функцию $\tau = 1/h$, тогда подсистема для инвариантных функций принимает вид

$$\begin{aligned} \tilde{D}\rho + \rho(U_x + \tau^{-1}V) &= 0, & \tilde{D}U + \rho^{-1}p_x + \rho^{-1}NN_x &= 0, \\ \tilde{D}V - \rho^{-1}H_0\tau^{-1}N_x &= 0, & \tilde{D}p + A(p, \rho)(U_x + \tau^{-1}V) &= 0, \\ \tilde{D}N + NU_x - H_0\tau^{-1}V_x + \tau^{-1}NV &= 0, & \tilde{D}\tau = V, & \quad H_0\tau_x = \tau N. \end{aligned} \quad (1.3)$$

Неинвариантная функция ω определяется из неявного конечного соотношения

$$F(y - \tau \cos \omega, z - \tau \sin \omega) = 0 \quad (1.4)$$

с произвольной гладкой функцией F .

В случае $h = 0$ подсистема для инвариантных функций принимает вид

$$\begin{aligned} \tilde{D}\rho + \rho U_x &= 0, & \tilde{D}U + \rho^{-1}p_x + \rho^{-1}NN_x &= 0, \\ \tilde{D}V - \rho^{-1}H_0N_x &= 0, & \tilde{D}p + A(p, \rho)U_x &= 0, \\ \tilde{D}N + NU_x - H_0V_x &= 0, & \tilde{D}\varphi = V, & \quad H_0\varphi_x = N. \end{aligned} \quad (1.5)$$

Неявное соотношение для функции ω имеет вид

$$y \cos \omega + z \sin \omega = f(\omega) + \varphi(t, x), \quad (1.6)$$

где f — произвольная гладкая функция. В работе [1] предложены геометрические алгоритмы решения неявных уравнений (1.4), (1.6), найдены области определения решения, рассмотрены возможные случаи возникновения сингулярностей. Ниже исследуется общая картина движения в трехмерном пространстве.

2. Траектории частиц и магнитные силовые линии. Дифференцируя уравнения (1.4), (1.6), несложно получить равенство

$$D\omega = 0,$$

где D — оператор полного дифференцирования вдоль траектории. Угол ω сохраняется вдоль траектории, следовательно, эта траектория полностью лежит в некоторой плоскости, параллельной оси Ox и повернутой вокруг нее на угол ω . Дифференцирование вдоль магнитных силовых линий показывает, что ω сохраняется и вдоль этих кривых. Таким образом, для каждой частицы ее траектория и магнитная силовая линия являются плоскими кривыми, лежащими в одной плоскости, определяемой углом ω .

Еще одно важное свойство решения следует из представления (1.2). Для определения траектории некоторой частицы поставим задачу Коши. Плоское движение частицы полностью определяется компонентами скорости U, V , зависящими только от инвариантных переменных t, x , поэтому для любых двух частиц, принадлежащих некоторой плоскости $x = x_0$, в некоторый начальный момент $t = t_0$ задачи Коши для траекторий совпадают. Несмотря на то что различные частицы движутся в разных плоскостях, их траектории, представляющие собой плоские кривые, одинаковы. Аналогичное заключение может быть сделано для магнитных силовых линий, проходящих через две различные точки одной плоскости $x = x_0$. Таким образом, можно построить шаблоны траектории и магнитной силовой линии для частиц, лежащих в плоскости $x = x_0$. Присоединяя эти шаблоны к каждой точке плоскости $x = x_0$ внутри области определения функции ω в соответствии с

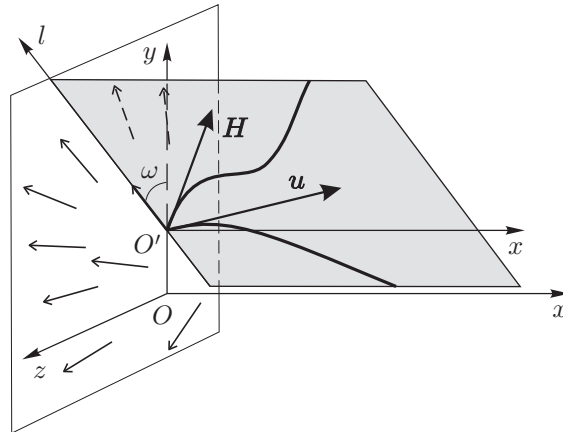


Рис. 1. Пространственная картина движения

полем направлений, определяемым функцией ω , получаем трехмерную картину траекторий и магнитных силовых линий во всем пространстве (рис. 1).

Для построения шаблона рассмотрим плоскость движения некоторой частицы, в начальный момент времени $t = t_0$ расположенной в точке $M = (x_0, y_0, z_0)$. Рассматриваемая плоскость параллельна оси Ox и повернута вокруг нее на угол ω относительно оси Oy . Декартова система координат в этой плоскости определяется следующим образом. Начало системы координат O' помещается в точку ортогональной проекции M в плоскость Oyz . Одна из координатных осей выбирается параллельно оси Ox и также обозначается x . Ось $O'l$ располагается ортогонально оси $O'x$ таким образом, чтобы система координат $O'xl$ имела правую ориентацию (см. рис. 1). В этой системе координат траектория частицы определяется решением следующей задачи Коши:

$$\frac{dx}{dt} = U(t, x), \quad x(t_0) = x_0. \quad (2.1)$$

Из решения задачи (2.1) получаем зависимость $x = x(t, x_0)$, интегрируя которую находим зависимость $l = l(t)$:

$$l(t) = \int_{t_0}^t V(t, x(t, x_0)) dt. \quad (2.2)$$

Наконец, в исходной системе координат $Oxyz$ уравнения траектории частицы восстанавливаются в виде

$$x = x(t, x_0), \quad y = y_0 + l(t) \cos \omega_0, \quad z = z_0 + l(t) \sin \omega_0, \quad (2.3)$$

где $\omega_0 = \omega(t_0, \mathbf{x}_0)$ — значение угла ω , вычисленное в соответствии с неявным соотношением (1.4) в начальный момент времени в точке M .

Магнитная силовая линия в момент времени $t = t_0$ определяется как интегральная кривая магнитного поля. Выражения, определяющие магнитную силовую линию, в момент времени $t = t_0$ проходящую через точку пространства $M = (x_0, y_0, z_0)$, имеют вид

$$y = y_0 + \cos \omega_0 \int_{x_0}^x \frac{N(t_0, s)}{H(t_0, s)} ds, \quad z = z_0 + \sin \omega_0 \int_{x_0}^x \frac{N(t_0, s)}{H(t_0, s)} ds. \quad (2.4)$$

Вывод уравнений (2.4) аналогичен выводу соотношений (2.3). Таким образом, имеет место

Теорема 1. *Справедливы следующие свойства движения плазмы, задаваемого решением вида (1.2) (см. рис. 1):*

1. *Траектории и магнитные силовые линии являются плоскими кривыми и лежат в плоскостях, параллельных оси Ox и повернутых вокруг нее на угол ω относительно положительного направления оси Oy .*

2. *Все частицы, в некоторый момент времени $t = t_0$ принадлежащие плоскости $x = x_0$, описывают одинаковые траектории в плоскостях своего движения. Магнитные силовые линии, проходящие через точки плоскости $x = x_0$, также являются плоскими кривыми, принадлежащими тем же плоскостям, что и траектории соответствующих частиц плоскости $x = x_0$.*

Следует отметить интересное свойство решений, описываемых данной подмоделью. Варьируя поле направлений в плоскости $x = x_0$, по одному и тому же шаблону траекторий и магнитных силовых линий можно построить бесконечное множество картин движения. Геометрические алгоритмы построения поля направлений, полученные в [1], позволяют модифицировать картину движения в соответствии с требуемыми характеристиками описываемого движения. Аналогичное свойство имеет место и в случае сферического вихря Овсянникова.

3. Область определения решения в трехмерном пространстве. Из рассмотренных построений следует алгоритм отыскания полной области определения полученного решения в трехмерном пространстве. В фиксированной плоскости $x = x_0$ функция ω имеет некоторую (во многих случаях конечную) область определения, ограниченную τ -эквидистантами к γ в случае $h \neq 0$, и кривой, описанной в [1], в случае $h = 0$. В обоих случаях поле направлений, определенное функцией ω в плоскости $x = x_0$, ортогонально границе области определения функции ω . Для отыскания границ области определения решения в трехмерном пространстве шаблон магнитной силовой линии необходимо присоединить к каждой точке границы области определения функции ω в плоскости $x = x_0$. В результате получаем канал, стенки которого “сотканы” из магнитных линий. В силу свойства “вмороженности” силовых линий стенки канала могут быть интерпретированы как непроницаемые бесконечно проводящие поршни. В случае стационарного решения стенки фиксированы, в нестационарном случае стенки расширяются или сжимаются в соответствии с поведением функции τ ($h \neq 0$) и функции φ ($h = 0$). В случае конечной области определения функции ω (эта область всегда может быть ограничена до конечной) каждое сечение полной области определения решения плоскостью, ортогональной оси Ox , конечно, следовательно в этой области кинетическая и магнитная энергии также конечны.

4. Пример стационарного решения. В качестве примера рассмотрим простейшее стационарное решение системы (1.3), задаваемое формулами

$$\begin{aligned} U &= H_0^2 \operatorname{sh} x, & V &= H_0^2 \operatorname{th} x, & \tau &= \operatorname{ch} x, \\ H &= H_0 \operatorname{sh} x, & N &= H_0 \operatorname{th} x, & \rho &= H_0^{-2}, & S &= S_0. \end{aligned} \quad (4.1)$$

В этом решении (как и во всех стационарных решениях описываемого типа) скорость и вектор напряженности магнитного поля коллинеарны в каждой частице. Решение (4.1) представляет собой частный случай решения С. Чандрасекхара [6]. Линии тока и магнитные силовые линии совпадают и при $x_0 = 0$ и

$$l(x) = \operatorname{ch} x - 1 \quad (4.2)$$

задаются уравнениями (2.3). Линии тока являются участками цепной линии. Заметим, что решение (4.1) может быть непрерывно сопряжено с равномерным потоком вдоль оси Ox . Действительно, в сечении $x = 0$ все функции в (4.1) и их производные принимают значения, соответствующие равномерному потоку. Построим решение, сопрягающее равномерный поток и плоский вихрь Овсянникова (4.1) в сечении $x = 0$.

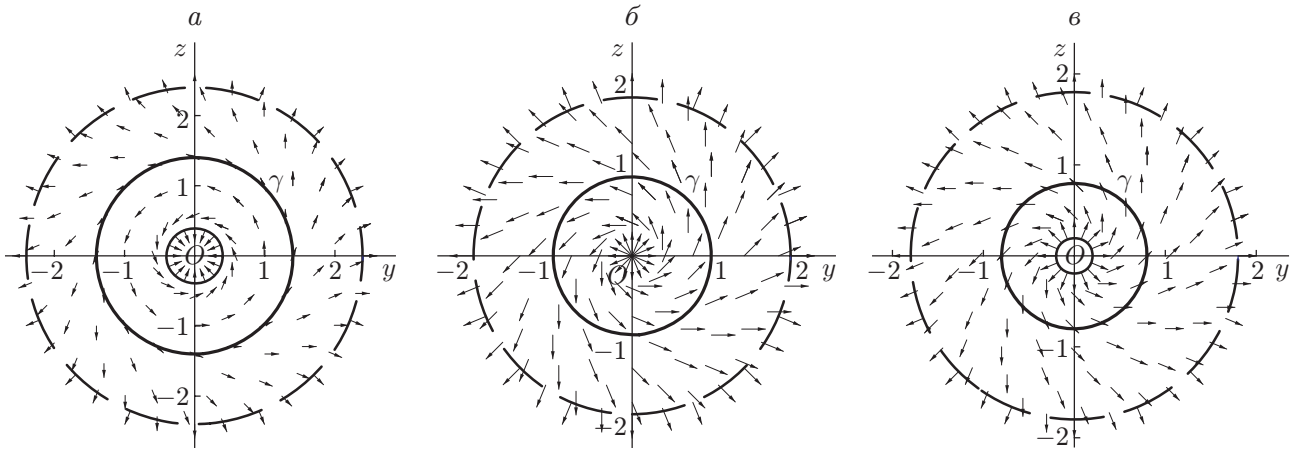


Рис. 2. Поле направлений, задаваемое функцией ω в соответствии с уравнением (1.4):
 $a - R > \tau$; $b - R = \tau$; $v - R < \tau$

Шаблон линий тока и магнитных силовых линий представляет собой прямую, параллельную оси Ox при $x < 0$ и гладко переходящую в кривую (4.2) при $x \geq 0$. В уравнении (1.4) выберем функцию $F(y, z) = y^2 + z^2 - R^2$. При этом кривая $\gamma: F(y, z) = 0$ является окружностью. На рис. 2 показаны поля направлений, полученные для различных соотношений τ и R в соответствии с алгоритмом работы [1]. При $R > \tau$ поле направлений задается в круговой полосе определения в плоскости Oyz между двумя окружностями с радиусами $R \pm \tau$. На внутренней окружности $|\mathbf{x}| = R - \tau$ поле направлено к точке O . В случае $R = \tau$ внутренняя окружность превращается в точку O . При этом поле направлений в этой точке является неоднозначным. Наконец, при $R < \tau$ внутренняя окружность “выворачивается” и становится окружностью с радиусом $\tau - R$ и полем направлений, ориентированным внутрь полосы определения. Эти поля направлений порождают различные картины движения в трехмерном пространстве.

Шаблон линий тока, описанный выше, присоединяется к каждой точке плоскости Oyz внутри полосы определения в соответствии с полем направлений, показанным на рис. 2. В силу очевидной центральной симметрии поля направлений получаемая картина движения является осесимметричной. На рис. 3 показано осевое сечение области трехмерного пространства, занятого движением. В зависимости от соотношения между $\tau(0)$ и R возможны три различные картины движения. Каждая частица движется вдоль плоской кривой, однако ориентация кривых в пространстве зависит от выбранной частицы. Однородный поток в цилиндрическом канале с центральным телом при $x < 0$ меняется в сечении $x = 0$ на течение в криволинейном канале при $x > 0$, описываемом решением (4.1). Случаи, представленные на рис. 3, $a-v$, соответствуют полям направлений, показанным на рис. 2, $a-v$. Трехмерная визуализация движения при $R > \tau(0)$ представлена на рис. 4, где показаны фрагменты стенок канала и линии тока частиц. Видно, что каждая линия тока имеет одну и ту же форму плоской кривой. Ориентация линий тока определяется полем направлений на рис. 2, a , осевое сечение канала приведено на рис. 3, a .

5. Решения с однородной деформацией. Рассмотрим решения инвариантных подсистем (1.3), (1.5), в которых компонента скорости U линейно зависит от пространственной координаты x . Для уравнений магнитной гидродинамики (1.1) в предположении линейной зависимости всех компонент скорости от всех пространственных координат такие движения изучались в [7].

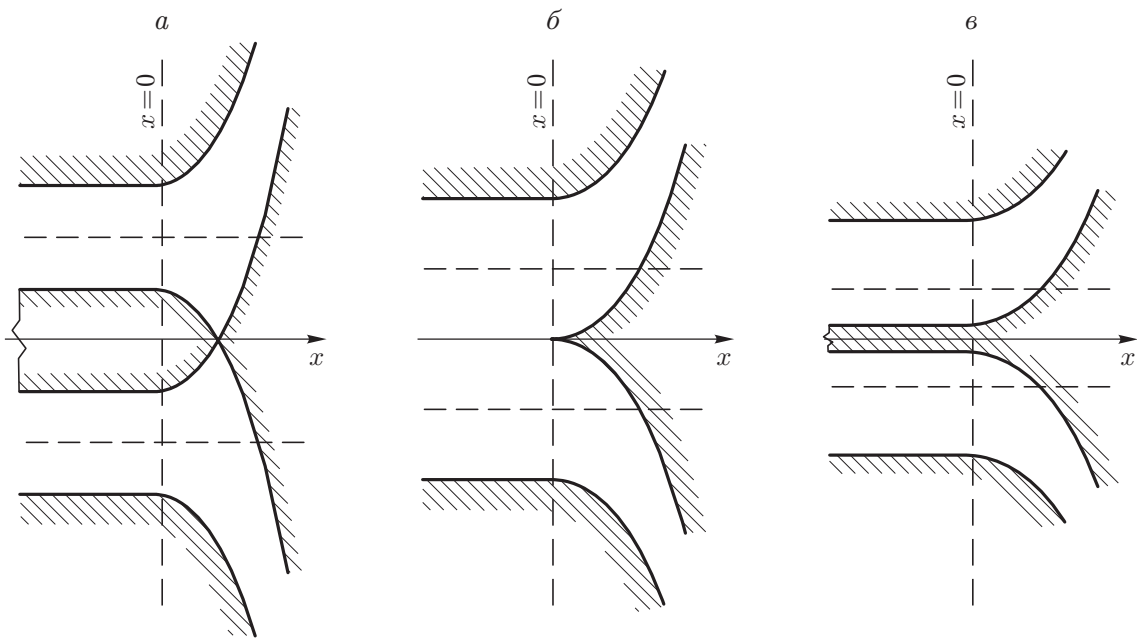


Рис. 3. Осевые сечения каналов, занятых течением газа:
 $a - R > \tau(0)$; $b - R = \tau(0)$; $v - R < \tau(0)$

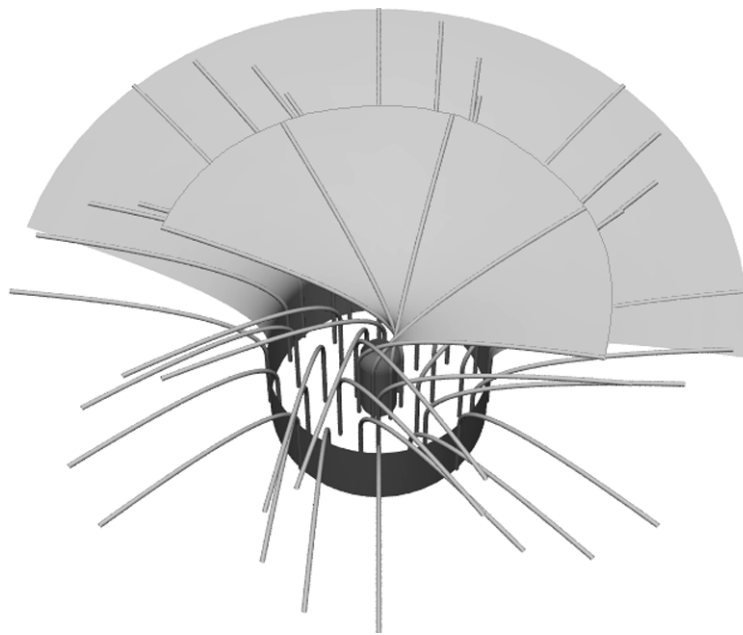


Рис. 4. Пространственная визуализация течения

Для удобства вместо (t, x) будем использовать лагранжевы координаты (t, ξ) , где ξ удовлетворяет уравнениям

$$\xi_t + U\xi_x = 0, \quad \xi(0, x) = x. \quad (5.1)$$

Введем функцию $M = \partial x / \partial \xi$. При переходе к лагранжевым координатам производные произвольной функции $f(t, x)$ пересчитываются следующим образом:

$$f_t + Uf_x \rightarrow f_t, \quad f_x \rightarrow M^{-1}f_\xi.$$

Кроме того, по определению лагранжевой координаты имеем

$$U = x_t, \quad U_x = M^{-1}M_t.$$

Сначала исследуем систему (1.5).

Произведя замену переменных в системе (1.5), получаем

$$\begin{aligned} \rho_t + M^{-1}\rho M_t &= 0, & x_{tt} + \rho^{-1}M^{-1}(p_\xi + NN_\xi) &= 0, \\ V_t - \rho^{-1}M^{-1}H_0N_\xi &= 0, & p_t + M^{-1}A(p, \rho)M_t &= 0, \\ N_t + M^{-1}NM_t - H_0M^{-1}V_\xi &= 0, & \varphi_t = V, & H_0\varphi_\xi = MN. \end{aligned} \quad (5.2)$$

Система (5.2) имеет два очевидных интеграла

$$\rho M = f(\xi), \quad S = S(\xi) \quad (5.3)$$

(S — энтропия). С учетом (5.3) из системы (5.2) получаем

$$(MN)_t = H_0V_\xi, \quad f(\xi)V_t = H_0N_\xi, \quad x_{tt} + f(\xi)^{-1}(p_\xi + NN_\xi) = 0. \quad (5.4)$$

Из двух последних уравнений системы (5.2) V и N можно выразить как функции от φ :

$$V = \varphi_t, \quad N = H_0M^{-1}\varphi_\xi. \quad (5.5)$$

Подставляя выражения (5.5) в первое уравнение (5.4), получаем тождество, т. е. первое уравнение (5.4) является условием совместности уравнений (5.5) относительно функции φ . Из второго соотношения (5.4) получаем линейное уравнение для φ :

$$f(\xi)\varphi_{tt} = H_0^2(M^{-1}\varphi_\xi)_\xi. \quad (5.6)$$

Сделаем следующие предположения: 1) газ является политропным, т. е. $p = S(\xi)\rho^\gamma$; 2) зависимость $x(\xi)$ является линейной, т. е.

$$x = M(t)\xi, \quad M(0) = 1, \quad U = \dot{M}(t)\xi. \quad (5.7)$$

Здесь и далее точка над символом обозначает производную по времени t , штрих — производную по ξ . При непрерывном движении сплошной среды функция M не может обращаться в нуль. Для определенности будем считать $M > 0$. В сделанных предположениях уравнения системы редуцируются к следующему ключевому соотношению:

$$\ddot{M}\xi + f(\xi)^{-1} \left(\frac{(S(\xi)f(\xi)^\gamma)'}{M(t)^\gamma} + H_0^2 \frac{\varphi_\xi \varphi_{\xi\xi}}{M(t)^2} \right) = 0. \quad (5.8)$$

Для того чтобы разделить переменные в уравнении (5.8), предположим, что функция φ имеет вид

$$\varphi(t, \xi) = \alpha(t)\beta(\xi).$$

Из уравнения (5.6) получаем

$$f(\xi)M(t)\ddot{\alpha}(t)\beta(\xi) = H_0^2\alpha(t)\beta''(\xi). \quad (5.9)$$

Разделяя переменные в уравнении (5.9), имеем

$$\frac{M(t)\ddot{\alpha}(t)}{\alpha(t)} = \frac{H_0^2\beta''(\xi)}{f(\xi)\beta(\xi)} = C_1, \quad (5.10)$$

где C_1 — произвольная константа. Далее, из уравнения (5.8) получаем

$$\ddot{M}\xi + f(\xi)^{-1} \left(\frac{(S(\xi)f(\xi)^\gamma)'}{M(t)^\gamma} + H_0^2 \frac{\alpha(t)^2\beta'(\xi)\beta''(\xi)}{M(t)^2} \right) = 0. \quad (5.11)$$

Уравнение (5.11) имеет вид скалярного произведения $\mathbf{a} \cdot \mathbf{b} = 0$, где

$$\mathbf{a} = (\ddot{M}, M^{-\gamma}, H_0^2\alpha^2M^{-2}), \quad \mathbf{b} = (\xi, (Sf^\gamma)'f^{-1}, \beta'\beta''f^{-1}).$$

В таком уравнении разделение переменных производится в соответствии с леммой Л. В. Овсянникова [8]. При этом единственным нетривиальным случаем ($M \neq \text{const}$) является следующий случай:

$$\frac{(S(\xi)f(\xi)^\gamma)'}{f(\xi)} = C_2\xi, \quad \frac{\beta'(\xi)\beta''(\xi)}{f(\xi)} = C_3\xi; \quad (5.12)$$

$$\ddot{M} + \frac{C_2}{M^\gamma} + H_0^2 \frac{C_3\alpha^2}{M^2} = 0 \quad (5.13)$$

(C_2, C_3 — произвольные константы). Из второго уравнения (5.12) и второго уравнения (5.10) получаем

$$\beta'\beta'' = C_3\xi f, \quad H_0^2\beta'' = C_1f\beta. \quad (5.14)$$

Деля первое уравнение (5.14) на второе, находим

$$\frac{\beta'}{H_0^2} = \frac{C_3\xi}{C_1\beta} \quad \implies \quad \beta^2 = \frac{C_3}{C_1} H_0^2 \xi^2 + C_4 \quad (5.15)$$

(C_4 — произвольная константа). Из оставшегося соотношения (5.14) получаем

$$f(\xi) = \frac{H_0^2\beta''}{C_1\beta} = \frac{C_3C_4H_0^4}{(C_3H_0^2\xi^2 + C_1C_4)^2}. \quad (5.16)$$

В силу (5.3) и сделанного предположения о неотрицательности функции M из выражения (5.16) получаем ограничение $C_3C_4 > 0$. Первое уравнение (5.12) служит для определения неизвестной функции $S(\xi)$:

$$S(\xi) = f(\xi)^{-\gamma} \left(S_0 + C_2 \int \xi f(\xi) d\xi \right).$$

Подставляя выражения для $S(\xi)$ и $\rho = fM^{-1}$ в уравнение состояния $p = S\rho^\gamma$, находим давление

$$p = \frac{1}{M^\gamma} \left(p_0 - \frac{C_2C_4H_0^2}{2(C_3H_0^2\xi^2 + C_1C_4)} \right).$$

Из (5.10), (5.13) определяем функции M и α , зависящие от t :

$$\ddot{M} = -\frac{C_2}{M^\gamma} - H_0^2 \frac{C_3\alpha^2}{M^2}, \quad \ddot{\alpha} = \frac{C_1\alpha}{M}. \quad (5.17)$$

Система (5.17) является замкнутой системой обыкновенных дифференциальных уравнений для функций M и α , которая будет исследована ниже.

Определим уравнения для траекторий частиц и магнитных силовых линий.

Из определения лагранжевой координаты ξ следует зависимость $x(t)$ вдоль траектории частицы:

$$x = x_0 M(t). \quad (5.18)$$

С учетом (2.2) и (5.5) выражение для координаты $l(t)$ принимает вид

$$l(t) = \int_0^t V(s, x(s, x_0)) ds = \int_0^t \dot{\alpha}(s) \beta(x_0) ds = (\alpha(t) - \alpha(0)) \beta(x_0). \quad (5.19)$$

В конечном виде траектория частицы в трехмерном пространстве восстанавливается по формулам (2.3). Для построения магнитных силовых линий в момент времени $t = t_0$ на данном решении необходимо вычислить интеграл

$$\int_{x_0}^x \frac{N(t_0, s)}{H(t_0, s)} ds = \int_{x_0}^x \frac{H_0 \alpha(t) \beta'(s M^{-1})}{H_0 M(t)} ds = \alpha(t) (\beta(x M^{-1}) - \beta(x_0)). \quad (5.20)$$

Магнитные силовые линии определяются формулами (2.4). Таким образом, функции $M(t)$, $\alpha(t)$ задают в параметрическом виде траекторию частицы, а $\beta(\xi)$ — форму магнитных силовых линий.

Из уравнения (5.15) для функции β следует, что существенно различаются два случая: $C_1 C_3 > 0$ и $C_1 C_3 < 0$. В случае $C_1 C_3 > 0$ уравнение (5.15) задает семейство гипербол на плоскости (ξ, β) . Это означает, что область существования решения не имеет ограничений по оси Ox . В случае $C_1 C_3 < 0$ уравнение (5.15) определяет семейство эллипсов, следовательно, решение определено только при $|\xi| < \sqrt{C_1 C_4 / (C_3 H_0^2)}$. Второй случай будем считать нефизическим, поскольку на границах области определения решения плотность и давление обращаются в бесконечность. Далее будем полагать, что $C_1 C_3 > 0$. Кроме того, чтобы функция β была определена и отлична от нуля при всех ξ , необходимо, чтобы выполнялось неравенство $C_4 > 0$. Таким образом, должны выполняться следующие условия:

$$C_1 > 0, \quad C_3 > 0, \quad C_4 > 0, \quad p_0 > C_2 H_0^2 / (2C_1). \quad (5.21)$$

Знак константы C_2 определяет зависимость давления p от лагранжевой координаты ξ . На бесконечности $\xi \rightarrow \infty$ давление зависит только от времени и равно $p_0 M^{-\gamma}$. При $C_2 < 0$ давление в начале координат больше, чем на бесконечности, т. е. решение описывает разлет газа под действием внутреннего давления. При $C_2 > 0$ давление в начале координат меньше, чем на бесконечности, т. е. движение газа происходит под действием повышенного внешнего давления.

Вернемся к изучению системы (5.17). Поскольку растяжение позволяет определить функцию α с точностью до произвольного постоянного множителя, можно выбрать $C_3 = C_1 (2H_0^2)^{-1}$. Тогда $\beta^2 = \xi^2 / 2 + C_4$. Магнитные силовые линии являются гиперболами. Динамическая система (5.17) принимает вид

$$\ddot{M} = -\frac{C_2}{M^\gamma} - \frac{C_1 \alpha^2}{2M^2}, \quad \ddot{\alpha} = \frac{C_1 \alpha}{M}. \quad (5.22)$$

Систему (5.22) можно записать в виде уравнения Лагранжа с лагранжианом

$$L = \frac{\dot{M}^2 + \dot{\alpha}^2}{2} + \frac{C_2}{(\gamma - 1)M^{\gamma-1}} + \frac{C_1 \alpha^2}{2M}.$$

Для этой системы справедлив интеграл энергии

$$\frac{\dot{M}^2 + \dot{\alpha}^2}{2} - \frac{C_2}{(\gamma - 1)M^{\gamma-1}} - \frac{C_1\alpha^2}{2M} = b.$$

Введя обозначения производных

$$\dot{M} = r \cos \theta, \quad \dot{\alpha} = r \sin \theta,$$

из интеграла энергии получаем выражение

$$r = \sqrt{2b + \frac{C_1\alpha^2}{M} + \frac{2C_2}{(\gamma - 1)M^{\gamma-1}}}.$$

Тогда система (5.22) записывается в виде

$$r\dot{\theta} = \frac{C_1\alpha}{M} \cos \theta + \left(\frac{C_2}{M^\gamma} + \frac{C_1\alpha^2}{2M^2} \right) \sin \theta, \quad \dot{M} = r \cos \theta, \quad \dot{\alpha} = r \sin \theta. \quad (5.23)$$

Дальнейшее исследование системы (5.23) можно провести численно. Результаты проведенного исследования суммируются в следующей теореме.

Теорема 2. *Решение уравнений (1.5) с линейной зависимостью $U(x)$ задается формулами*

$$U = \frac{\dot{M}(t)}{M(t)} x, \quad V = \dot{\alpha}(t)\beta(\xi), \quad N = \frac{H_0\xi\alpha(t)}{2M(t)\beta(\xi)}, \quad \beta = \sqrt{\frac{\xi^2}{2} + C_4}, \quad \xi = \frac{x}{M(t)},$$

$$p = \frac{1}{M(t)^\gamma} \left(p_0 - \frac{C_2C_4H_0^2}{C_1(\xi^2 + 2C_4)} \right), \quad \rho = \frac{2C_4H_0^2}{C_1M(t)(\xi^2 + 2C_4)^2}, \quad \varphi = \alpha(t)\beta(\xi)$$

с произвольными константами C_i , p_0 , удовлетворяющими неравенствам (5.21). Функции M , α находятся из системы обыкновенных дифференциальных уравнений (5.23). На таком решении магнитные силовые линии являются гиперболами и определяются по формулам (2.4), (5.20). Траектории частиц задаются уравнениями (2.3), зависимость $l(t)$ определена в (5.19).

Для основного случая $h \neq 0$ исследование подмодели с линейной зависимостью $U(x)$ проводится аналогично. Используя вместо h функцию $\tau = 1/h$, уравнения (1.3) запишем в лагранжевых координатах (5.1):

$$\tau(M\rho)_t + M\rho V = 0; \quad (5.24)$$

$$x_{tt} + \rho^{-1}M^{-1}(p_\xi + NN_\xi) = 0; \quad (5.25)$$

$$\rho M \tau V_t - H_0 N_\xi = 0; \quad (5.26)$$

$$M \tau p_t + \gamma p(\tau M_t + MV) = 0; \quad (5.27)$$

$$\tau(MN)_t - H_0 V_\xi + MNV = 0; \quad (5.28)$$

$$\tau_t = V, \quad H_0 \tau_\xi = MN\tau. \quad (5.29)$$

Из (5.24), (5.27), а также из уравнения состояния $p = S\rho^\gamma$ следуют первые интегралы системы

$$\tau M \rho = f(\xi), \quad S = S(\xi). \quad (5.30)$$

Уравнение (5.28) является условием совместности уравнений (5.29) для функции τ . Соотношения (5.29) позволяют выразить V , N через τ :

$$V = \tau_t, \quad N = H_0 M^{-1}(\ln |\tau|)_\xi. \quad (5.31)$$

Подставляя (5.30), (5.31) в (5.26), для τ получаем уравнение

$$f(\xi)\tau_{tt} = H_0^2(M^{-1}(\ln|\tau|)_\xi)_\xi. \quad (5.32)$$

Используем предположение о линейной зависимости $U(x)$, которое в лагранжевых координатах эквивалентно соотношениям (5.7), а функцию τ будем искать в виде

$$\tau = \alpha(t)\beta(\xi).$$

Из (5.32) следует

$$M(t)f(\xi)\ddot{\alpha}(t)\beta(\xi) = H_0^2(\ln|\beta(\xi)|)'' \quad (5.33)$$

(как и ранее, точка над символом обозначает дифференцирование соответствующей функции по t , штрих — дифференцирование по ξ). Проводя разделение переменных в (5.33), получаем

$$M(t)\ddot{\alpha}(t) = C_1, \quad H_0^2(\ln|\beta(\xi)|)'' = C_1f(\xi)\beta(\xi). \quad (5.34)$$

В силу сделанных предположений уравнение (5.25) имеет вид

$$\ddot{M}(t)\xi + \frac{\alpha(t)\beta(\xi)}{f(\xi)} \left(\frac{1}{M^\gamma(t)\alpha^\gamma(t)} \left(S(\xi) \frac{f^\gamma(\xi)}{\beta^\gamma(\xi)} \right)' + \frac{H_0^2(\ln|\beta(\xi)|)'(\ln|\beta(\xi)|)''}{M^2(t)} \right) = 0. \quad (5.35)$$

В уравнении (5.35) разделение переменных производится в соответствии с леммой Л. В. Овсянникова. Нетривиален ($M \neq \text{const}$) следующий случай:

$$\frac{\beta}{f} \left(S \frac{f^\gamma}{\beta^\gamma} \right)' = C_3\xi, \quad \frac{\beta(\ln|\beta|)'(\ln|\beta|)''}{f} = C_3\xi; \quad (5.36)$$

$$\ddot{M} + \frac{C_2}{M^\gamma\alpha^{\gamma-1}} + \frac{H_0^2C_3\alpha}{M^2} = 0. \quad (5.37)$$

Из вторых уравнений (5.34), (5.36) следует

$$\frac{C_1f(\xi)\beta(\xi)}{H_0^2} = \frac{C_3\xi f(\xi)}{\beta'(\xi)} \implies \beta^2 = C_1^{-1}C_3H_0^2\xi^2 + C_4. \quad (5.38)$$

Как и в предыдущей модели, для того чтобы решение было физическим, необходимо выполнение неравенства $C_1C_3 > 0$. Функция f определяется в виде

$$f(\xi) = \frac{H_0^2(\ln|\beta(\xi)|)''}{C_1\beta(\xi)}.$$

Интегрируя первое уравнение (5.36) с учетом (5.38), получаем

$$S(\xi) \frac{f^\gamma(\xi)}{\beta^\gamma(\xi)} = \frac{C_2C_3H_0^4\xi^2}{2(C_1C_4 + C_3H_0^2\xi^2)^2} + C_5.$$

Тогда

$$p = M^{-\gamma}\alpha^{-\gamma} \left(p_0 + \frac{C_2C_3H_0^4\xi^2}{2(C_1C_4 + C_3H_0^2\xi^2)^2} \right),$$

для плотности имеем выражение

$$\rho = \frac{f(\xi)}{M(t)\alpha(t)\beta(\xi)} = M^{-1}\alpha^{-1} \frac{C_3H_0^4(C_1C_4 - C_3H_0^2\xi^2)}{(C_3H_0^2\xi^2 + C_1C_4)^3}, \quad (5.39)$$

наконец, для определения функций M , α из уравнений (5.34), (5.37) получаем

$$\ddot{M} = -\frac{C_2}{M^\gamma\alpha^{\gamma-1}} - \frac{H_0^2C_3\alpha}{M^2}, \quad \ddot{\alpha} = \frac{C_1}{M}. \quad (5.40)$$

При $\xi^2 = C_1 C_4 C_3^{-1} H_0^{-2}$ выражение (5.39) для плотности обращается в нуль. Для того чтобы при данном значении ξ выражение для давления также обращалось в нуль, необходимо выполнение условия

$$p_0 = -\frac{C_2 H_0^2}{8 C_1 C_4}.$$

При этом выражение для давления принимает вид

$$p = -\frac{C_2 H_0^2 (C_3 H_0^2 \xi^2 - C_1 C_4)^2}{8 M \gamma \alpha \gamma C_1 C_4 (C_3 H_0^2 \xi^2 + C_1 C_4)^2}.$$

Знаки входящих в решение констант выберем таким образом, чтобы при $\xi = 0$ функции β , ρ , p были определены и положительны:

$$C_4 > 0, \quad C_3 > 0, \quad C_1 C_2 < 0.$$

С учетом полученного ранее неравенства $C_1 C_3 > 0$ имеем

$$C_1 > 0, \quad C_2 < 0, \quad C_3 > 0, \quad C_4 > 0. \quad (5.41)$$

При выполнении неравенств (5.41) полученное решение описывает эволюцию плоского слоя идеальной плазмы, граничащего с вакуумом. Заметим, что и в этом решении траектории частиц и магнитные силовые линии определяются по формулам (5.18)–(5.20). Результатом данного исследования является

Теорема 3. Для общей системы уравнения (1.3) решение с линейной зависимостью $U(t)$ определяется формулами

$$U = \frac{\dot{M}(t)}{M(t)} x, \quad V = \dot{\alpha}(t) \beta(\xi), \quad N = \frac{C_3 H_0^3 \xi}{M(t) (C_3 H_0^2 \xi^2 + C_1 C_4)},$$

$$p = -\frac{C_2 H_0^2 (C_3 H_0^2 \xi^2 - C_1 C_4)^2}{8 M(t) \gamma \alpha(t) \gamma C_1 C_4 (C_3 H_0^2 \xi^2 + C_1 C_4)^2}, \quad \rho = \frac{C_3 H_0^4 (C_1 C_4 - C_3 H_0^2 \xi^2)}{M(t) \alpha(t) (C_3 H_0^2 \xi^2 + C_1 C_4)^3},$$

$$\tau = \alpha(t) \beta(\xi), \quad \beta = \sqrt{C_1^{-1} C_3 H_0^2 \xi^2 + C_4}, \quad \xi = x M(t)^{-1}$$

с произвольными константами C_i , удовлетворяющими неравенствам (5.41). Функции M , α находятся из решения системы обыкновенных дифференциальных уравнений (5.40). Магнитные силовые линии являются гиперболами и определяются по формулам (2.4), (5.20). Траектории частиц задаются уравнениями (2.3), в которых зависимость $l(t)$ определена в (5.19).

6. Случай идеальной жидкости ($\mathbf{H} \equiv 0$, $\rho = 1$). Рассмотрим только случай $h \neq 0$, так как при $h = 0$ решение оказывается тривиальным. Инвариантная система (1.3) упрощается и принимает вид

$$\begin{aligned} \tau U_x + V &= 0, & U_t + U U_x + \rho^{-1} p_x &= 0, \\ V_t + U V_x &= 0, & \tau_t + (\tau U)_x &= 0. \end{aligned} \quad (6.1)$$

Неинвариантная функция ω определяется неявным уравнением

$$F(\xi, y - \tau \cos \omega, z - \tau \sin \omega) = 0,$$

где ξ — произвольная функция, удовлетворяющая уравнению $\xi_t + U \xi_x = 0$. Ниже показано, что уравнения (6.1) могут быть полностью проинтегрированы в лагранжевых координатах (t, ξ) . Для удобства перейдем к функции $\tau_1 = \tau - tV$, которая в силу (6.1) удовлетворяет

уравнению $\tilde{D}\tau_1 = 0$. Таким образом, в лагранжевых координатах система (6.1) имеет два интеграла, которые целесообразно выбрать следующим образом:

$$V = V(\xi), \quad \tau_1 = G(\xi)V(\xi)$$

(V, G — произвольные функции). Используя функцию $M = \partial x / \partial \xi$, первое уравнение (6.1) запишем в виде

$$V(\xi)(t + G(\xi))M^{-1}M_t + V(\xi) = 0.$$

В предположении $V(\xi) \neq 0$ это уравнение интегрируется с произвольной функцией F :

$$M = F(\xi)/(t + G(\xi)). \quad (6.2)$$

Для зависимостей $x = x(t, \xi)$ и $p = p(t, \xi)$ получаем систему

$$x_\xi = F(\xi)(t + G(\xi))^{-1}; \quad (6.3)$$

$$p_\xi = x_{tt}F(\xi)(t + G(\xi))^{-1}. \quad (6.4)$$

В силу произвольности выбора лагранжевой координаты можно считать $F(\xi) \equiv 1$. Интегрируя уравнение (6.3) по ξ с конкретной функцией G , находим зависимость $x(t, x_0)$ вдоль траектории частицы. Подставляя эту зависимость в уравнение (6.4) и интегрируя его, получаем выражение для давления p вдоль траекторий частиц. Заметим, что аддитивные функции времени, появляющиеся при интегрировании уравнений (6.4), (6.3), можно считать нулевыми в силу допускаемой уравнениями (6.1) бесконечномерной группы преобразований, обычной для уравнений идеальной жидкости.

Стационарное решение системы (6.1) дается явными формулами

$$U = U_0 e^{-mV_0 x}, \quad V = V_0, \quad \tau = (mU_0)^{-1} e^{mV_0 x}, \quad p = p_0 - (1/2)\rho U_0^2 e^{-2mV_0 x},$$

где U_0, V_0, m, p_0, ρ — произвольные константы. Шаблон линии тока задается зависимостью $l(x)$ в виде

$$l(x) = (mU_0)^{-1}(e^{mV_0 x} - e^{mV_0 x_0}). \quad (6.5)$$

Экспоненциальные кривые (6.5), присоединенные к каждой точке на плоскости $x = x_0$ в соответствии с полем направлений, задаваемым неявным уравнением (1.4), формируют картину течения жидкости во всей области определения решения.

Заключение. Изучены свойства полученной в [1] подмодели уравнений идеальной магнитной гидродинамики, описывающей обобщение классического одномерного движения плазмы с плоскими волнами. Показано, что в движении плазмы, задаваемом подмоделью, траектории частиц и магнитные силовые линии являются плоскими кривыми. Траектория каждой частицы и магнитная силовая линия, проходящая через эту траекторию в каждый фиксированный момент времени, лежат в одной плоскости, параллельной оси Ox . В отличие от классического одномерного решения в данном решении плоскость движения каждой частицы имеет собственную ориентацию, которая задается некоторым дополнительным конечным соотношением. Функциональный произвол, имеющийся в соотношении, позволяет изменять геометрию получающегося движения в соответствии с решаемой задачей. Найдены точные решения подмодели, задающие движения с однородной деформацией вдоль оси Ox .

ЛИТЕРАТУРА

1. Головин С. В. Плоский вихрь Овсянникова: уравнения подмодели // ПМТФ. 2008. Т. 49, № 5. С. 27–40.
2. Овсянников Л. В. Особый вихрь // ПМТФ. 1995. Т. 36, № 3. С. 45–52.

3. **Golovin S. V.** Generalization of the one-dimensional ideal plasma flow with spherical waves // J. Phys. A: Math. Gen. 2006. V. 39. P. 7579–7595.
4. **Куликовский А. Г.** Магнитная гидродинамика / А. Г. Куликовский, Г. А. Любимов. М.: Физматгиз, 1962.
5. **Овсянников Л. В.** Групповой анализ дифференциальных уравнений. М.: Наука, 1978.
6. **Chandrasekhar S.** On the stability of the simplest solution of the equations of hydromagnetics // Proc. Nat. Acad. Sci. U.S.A. 1956. V. 42. P. 273–276.
7. **Куликовский А. Г.** О движениях с однородной деформацией в магнитной гидродинамике // Докл. АН СССР. 1958. Т. 120, № 5. С. 984–986.
8. **Головин С. В.** Точные решения для эволюционных подмоделей газовой динамики // ПМТФ. 2002. Т. 43, № 4. С. 3–14.

*Поступила в редакцию 30/VII 2007 г.,
в окончательном варианте — 5/IX 2007 г.*
